

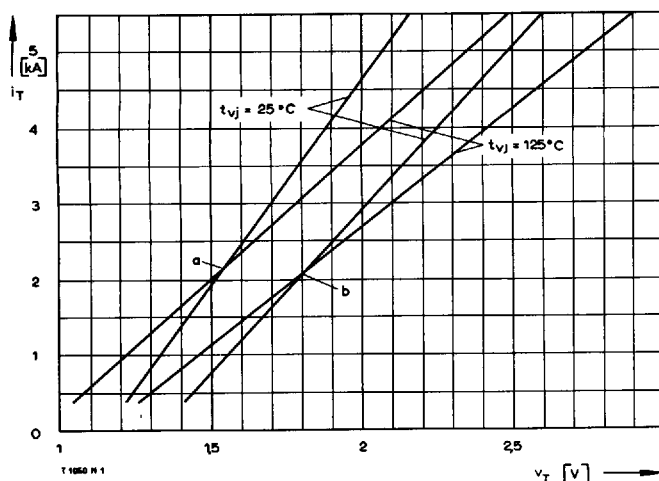
T-25-21

Typenreihe/Type range	T 1050 N/T 1059 N	2000	2200	2400	2600	2800*
<b>Elektrische Eigenschaften</b>		<b>Electrical properties</b>				
<b>Höchstzulässige Werte</b>		<b>Maximum permissible values</b>				
$V_{DRM}$ , $V_{RRM}$	Periodische Vorwärts- und Rückwärts-Spitzenspannung	repetitive peak forward off-state and reverse voltages			2000...2800	V
$I_{TRMSM}$	Effektiver Durchlaßstrom	RMS on-state current			2200	A
$I_{AVM}$	Dauergrenzstrom	average on-state current	$t_C = 85^\circ\text{C}$		1050	A
$I_{TRM}$	Periodischer Spitzenstrom	repetitive peak on-state current	$t_C = 64^\circ\text{C}$		1400	A
$I_{TSM}$	Stoßstrom-Grenzwert	surge current			13	kA
$\int i^2 dt$	Grenzlastintegral	$\int i^2 dt$ -value	$t_p = 10 \text{ ms}, t_{vj} \leq 45^\circ\text{C}$		21	kA
$(di/dt)_{cr}$	Kritische Stromsteilheit	critical rate of rise of on-state current	$t_p = 10 \text{ ms}, t_{vj} = t_{vj,\max}$		19	kA
$(dv/dt)_{cr}$	Kritische Spannungssteilheit	critical rate of rise of off-state voltage	$t_p = 10 \text{ ms}, t_{vj} \leq 45^\circ\text{C}$	$2,205 \cdot 10^6$	$1,805 \cdot 10^6$	$\text{A}^2\text{s}$
			$t_p = 10 \text{ ms}, t_{vj} = t_{vj,\max}$			$\text{A}^2\text{s}$
			$v_L = 10 \text{ V}, i_G = 1 \text{ A}, di_G/dt = 1 \text{ A}/\mu\text{s}$		150	$\text{A}/\mu\text{s}$
			$v_D = 67\% V_{DRM}, t_{vj} = t_{vj,\max}$		400	$\text{V}/\mu\text{s}$
			5. Kennbuchstabe/5th letter C		1000	$\text{V}/\mu\text{s}$
			5. Kennbuchstabe/5th letter F			
<b>Charakteristische Werte</b>		<b>Characteristic values</b>				
$V_T$	Obere Durchlaßspannung	max. on-state voltage	$t_{vj} = 25^\circ\text{C}, i_T = 4,2 \text{ kA}$		2,3	V
$V_{(TO)}$	Schleusenspannung	threshold voltage	$t_{vj} = t_{vj,\max}$		1,05	V
$r_T$	Ersatzwiderstand	slope resistance	$t_{vj} = t_{vj,\max}$		0,3	$\text{m}\Omega$
$V_{GT}$	Obere Zündspannung	max. gate trigger voltage	$t_{vj} = 25^\circ\text{C}, v_D = 6 \text{ V}, R_A = 2 \Omega$		2	V
$I_{GT}$	Oberer Zündstrom	max. gate trigger current	$t_{vj} = 25^\circ\text{C}, v_D = 6 \text{ V}, R_A = 2 \Omega$		250	mA
	Unterer Zündstrom	min. gate trigger current	$t_{vj} = t_{vj,\max}, v_D = 6 \text{ V}, R_A = 2 \Omega$		10	mA
$I_H$	Oberer Haltestrom	max. holding current	$t_{vj} = 25^\circ\text{C}, v_D = 6 \text{ V}, R_A = 2 \Omega$		500	mA
$I_L$	Oberer Einraststrom	max. latching current	$t_{vj} = 25^\circ\text{C}, v_D = 6 \text{ V}, R_{GK} \geq 10 \Omega$		2,5	A
$i_D, i_R$	Oberer Vorwärts- und Rückwärts-Sperrstrom	max. forward off-state and reverse currents	$i_G = 1 \text{ A}, di_G/dt = 1 \text{ A}/\mu\text{s}, t_g = 20 \mu\text{s}$		200	mA
$t_{gd}$	Oberer Zündverzug	max. gate controlled delay time	$t_{vj} = t_{vj,\max}, v_D = V_{DRM} (v_R = V_{RRM})$		4,5	$\mu\text{s}$
$t_q$	Typische Freiwerdezeit	typical turn-off time	$i_G = 1 \text{ A}, di_G/dt = 1 \text{ A}/\mu\text{s}$		300	$\mu\text{s}$
$C_{null}$	Typische Nullkapazität	typical zero capacitance	Prüfbedingungen/test conditions 3.4.3.4		12	nF
			$t_{vj} = 25^\circ\text{C}, f = 10 \text{ kHz}$			
<b>Thermische Eigenschaften</b>		<b>Thermal properties</b>				
$R_{thJC}$	Innerer Wärmewiderstand für beidseitige Kühlung	thermal resistance, junction to case for two-sided cooling	$\Theta = 180^\circ\text{el}, \sinus$		$\leq 0,021^\circ\text{C}/\text{W}$	
$R_{thJC(A)}$	für anodenseitige Kühlung	for anode-sided cooling	DC		$\leq 0,02^\circ\text{C}/\text{W}$	
$R_{thJC(K)}$	für kathodenseitige Kühlung	for cathode-sided cooling	$\Theta = 180^\circ\text{el}, \sinus$		$\leq 0,036^\circ\text{C}/\text{W}$	
$R_{thCK}$	Wärmewiderstand für einen Übergang zwischen Gehäuse und Kühlkörper	single sided thermal resistance,	DC		$\leq 0,035^\circ\text{C}/\text{W}$	
$t_{vj,\max}$	Höchstzul. Sperrsichttemperatur	case to heatsink			$\leq 0,048^\circ\text{C}/\text{W}$	$0,008^\circ\text{C}/\text{W}$
$t_{vj,op}$	Betriebstemperatur	max. junction temperature				$125^\circ\text{C}$
$t_{sig}$	Lagertemperatur	operating temperature				$-40^\circ\text{C} \dots +125^\circ\text{C}$
		storage temperature				$-40^\circ\text{C} \dots +150^\circ\text{C}$
<b>Mechanische Eigenschaften</b>		<b>Mechanical properties</b>				
$G$	Gewicht T 1050 N/T 1059 N	weight T 1050 N/T 1059 N			600 g/540 g	
$F$	Anpreßkraft	clamping force			20 ... 30 kN	
	Maßbilder T 1050 N/T 1059 N	outlines T 1050 N/T 1059 N	DIN 41814-155 B 4		Seite/page 241	
	Kriechstrecke T 1050 N/T 1059 N	creepage distance T 1050 N/T 1059 N			25 mm/32 mm	
	Feuchteklass.	humidity classification	DIN 40040		C	
	Schüttelfestigkeit	vibration resistance	$f = 50 \text{ Hz}$		5x9,81 m/s <sup>2</sup>	

\* Für größere Stückzahlen bitte Liefertermin erfragen/Delivery for larger quantities on request

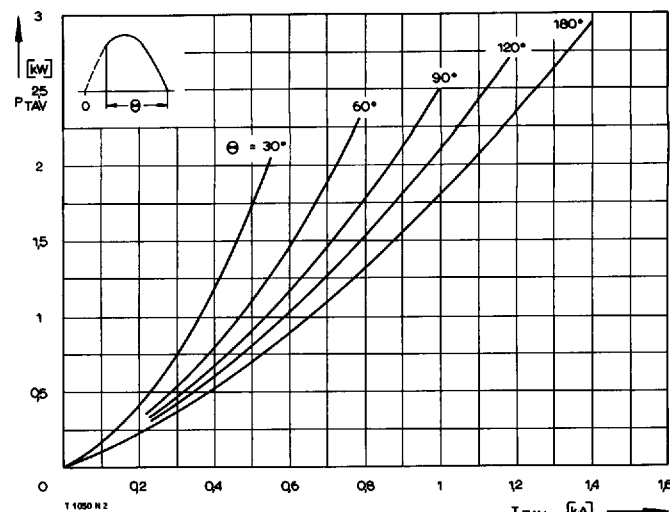
**T 1050 N T 1059 N**

T-25-21



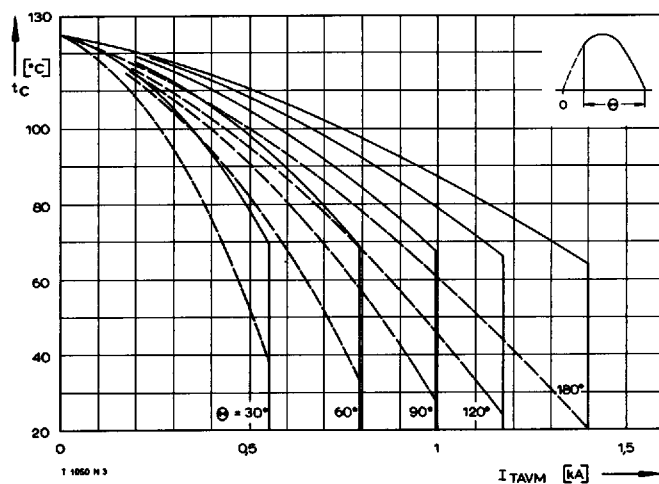
Bild/FIG. 1

Durchlaßkennlinien/On-state characteristics  
a – Typische Kennlinien/typical characteristics  
b – Grenzkennlinien/limiting characteristics



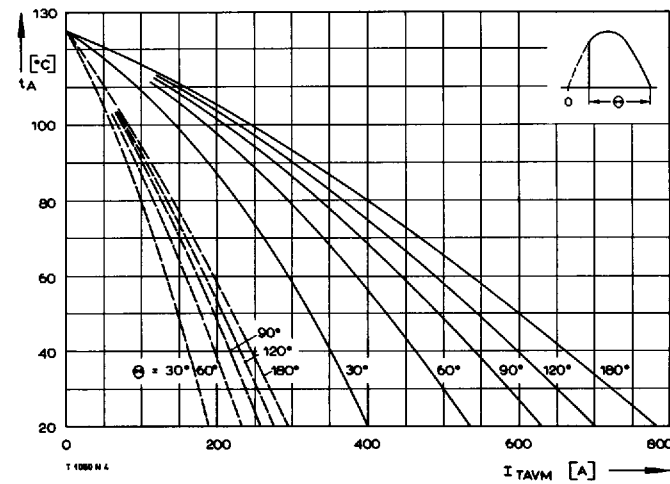
Bild/FIG. 2

Durchlaßverlustleistung  $P_T$ /On-state power loss  $P_T$   
Parameter: Stromflußwinkel  $\Theta$ /current conduction angle  $\Theta$



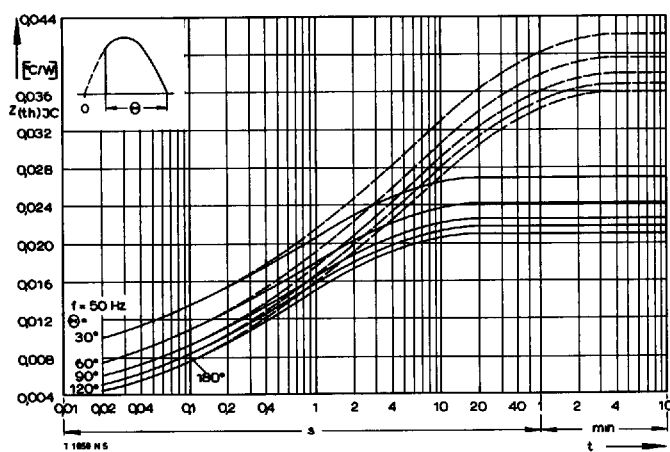
Bild/FIG. 3

Höchstzulässige Gehäusetemperatur  $t_c$   
Maximum allowable case temperature  $t_c$   
---- anodenseitige Kühlung/anode sided cooling  
— beidseitige Kühlung/two-sided cooling



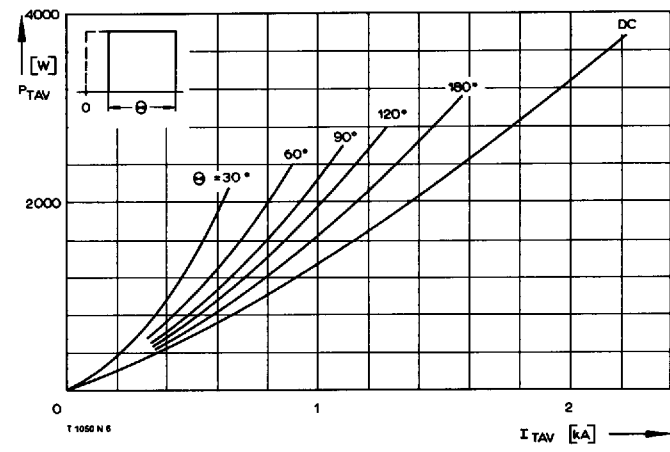
Bild/FIG. 4

Höchstzulässige Kühlmittelttemperatur  $t_A$  bei Betrieb auf Kühlkörper K0,05 F.  
Maximum allowable cooling medium temperature  $t_A$ , heatsink type K0,05 F.  
---- Luftselbstkühlung/natural cooling  
— verstärkte Luftkühlung/forced cooling,  $V_L = 120 \text{ l/s}$



Bild/FIG. 5

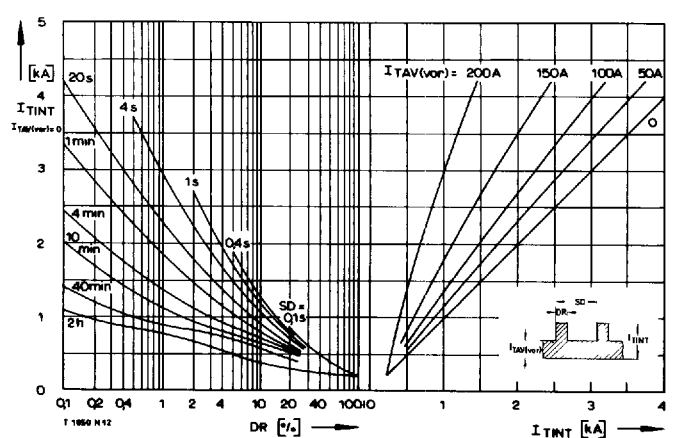
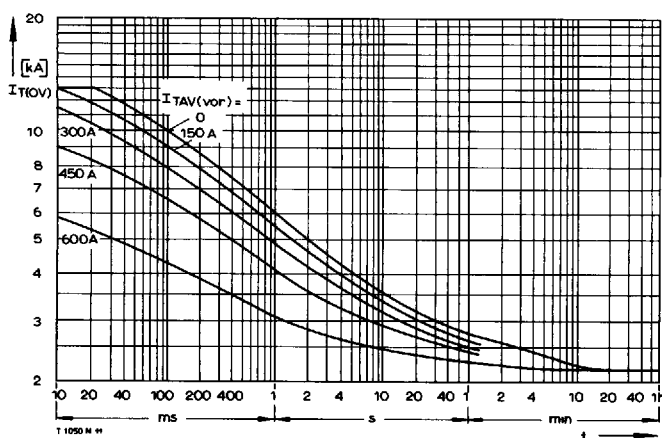
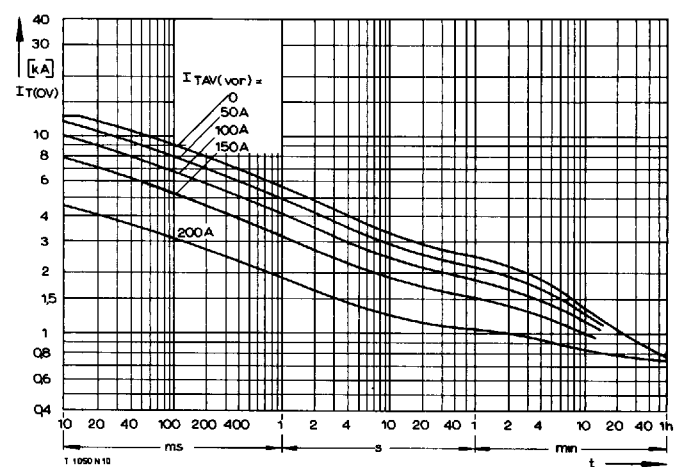
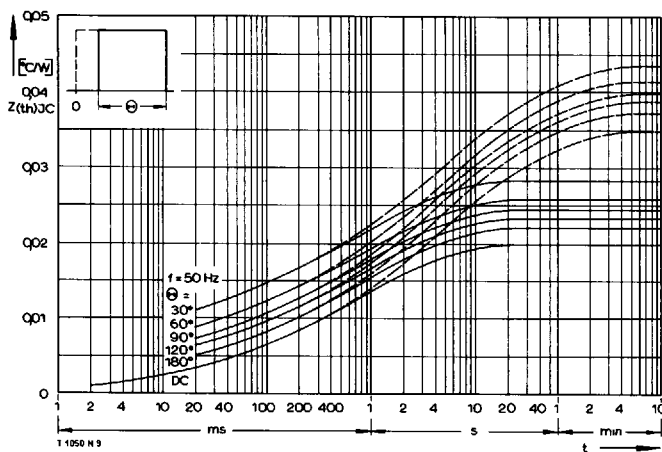
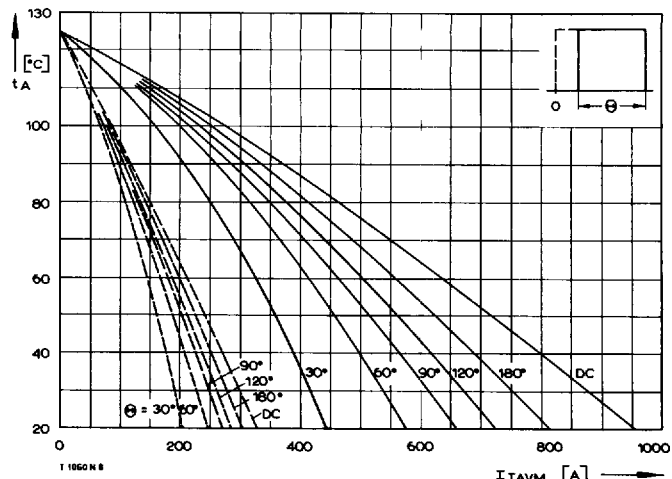
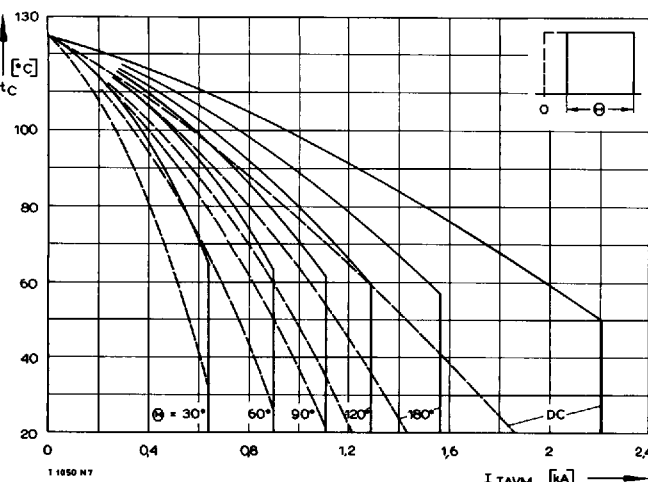
Transienter innerer Wärmewiderstand  $Z_{thJC}$   
Transient thermal impedance, junction to case,  $Z_{thJC}$ , at two-side cooling  
---- anodenseitige Kühlung/anode sided cooling  
— beidseitige Kühlung/two-sided cooling



Bild/FIG. 6

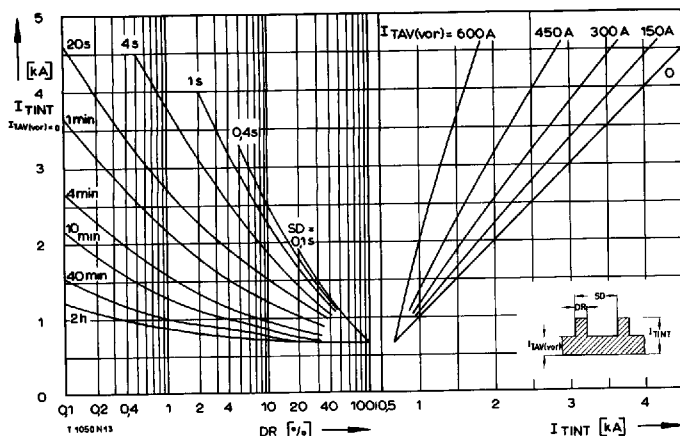
Durchlaßverlustleistung  $P_T$ /On-state power loss  $P_T$   
Parameter: Stromflußwinkel  $\Theta$ /current conduction angle  $\Theta$

T-25-21

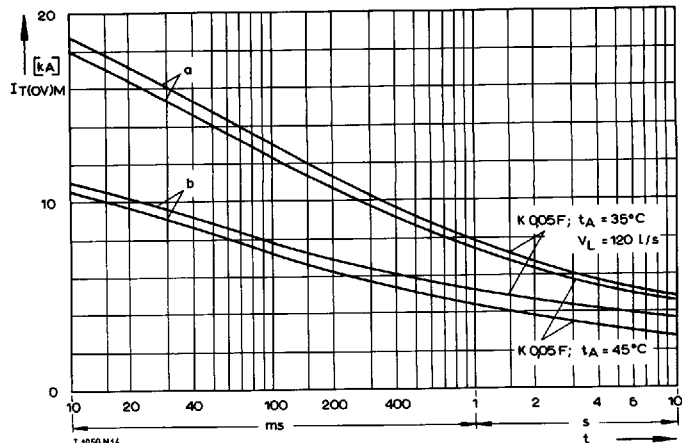


**T 1050 N T 1059 N**

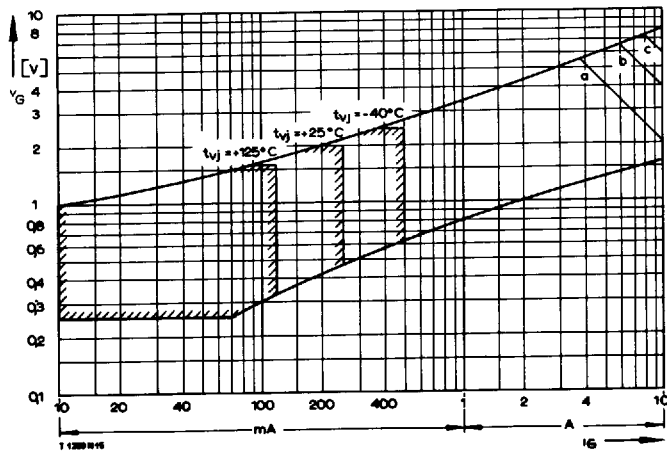
T-25-21



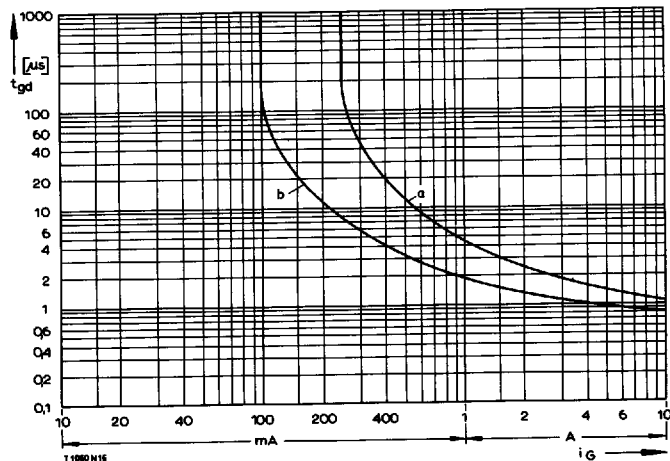
Bild/Fig. 13  
Höchstzulässiger Durchlaßstrom  $I_{TAV}$  bei Aussetzbetrieb und verstärkter Luftkühlung,  $t_A = 35^\circ\text{C}$ , Kühlkörper K0,05 F,  $V_L = 120 \text{ l/s}$ .  
Limiting on-state current  $I_{TAV}$  during intermittent operation at forced cooling,  
 $t_A = 35^\circ\text{C}$ , heatsink type K0.05 F,  $V_L = 120 \text{ l/s}$ .  
Parameter: Spieldauer/cycle duration SD  
Vorlaststrom/pre-load current  $I_{TAV(vor)}$



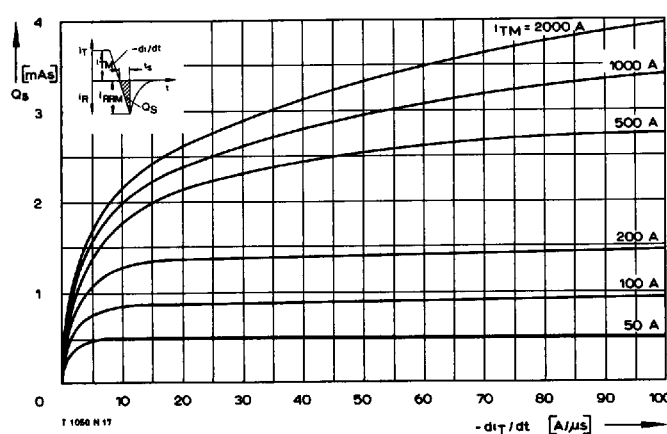
Bild/Fig. 14  
Grenzstrom  $I_{TOVIM}$  bei Luftselbstkühlung und verstärkter Luftkühlung,  
Kühlkörper K0,05 F,  $U_{RM} = 0,8 U_{RRM}$ .  
Limiting overload on-state current  $I_{TOVIM}$  at natural and forced cooling,  
heatsink type K0.05 F,  $U_{RM} = 0,8 U_{RRM}$ .  
a – Belastung aus Leerlauf/current surge under no-load conditions  
b – Belastung im Anschluß an Betrieb mit Dauergrenzstrom  $I_{TAVM}$ /  
current surge occurs during operation at limiting mean on-state current  
rating  $I_{TAVM}$



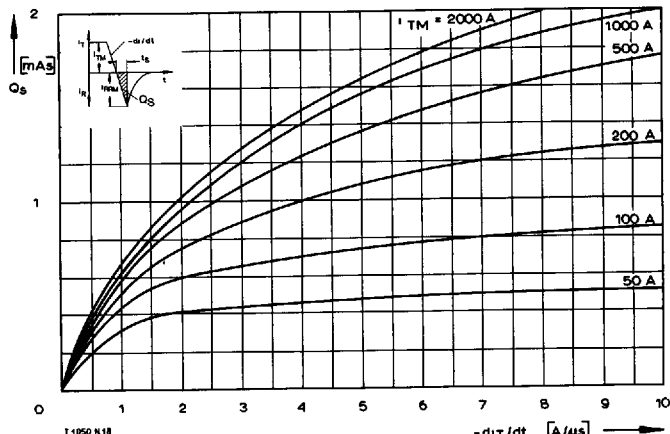
Bild/Fig. 15  
Zündbereich und Spitzensteuerleistung bei  $V_D \geq 6 \text{ V}$ .  
Gate characteristic and peak gate power dissipation at  $V_D \geq 6 \text{ V}$ .  
Parameter:  
a b c  
Steuerimpulsdauer/Pulse duration  $t_g$  [ms] 10 1 0,5  
Höchstzulässige Spitzensteuerleistung/  
Maximum allowable peak gate power [W] 20 40 60



Bild/Fig. 16  
Zündverzug  $t_gd$  nach DIN 41787 bei  $t_{ij} = 25^\circ\text{C}$ ,  $t_a = 1 \mu\text{s}$ .  
Gate controlled delay time  $t_gd$  to DIN 41787 at  $t_{ij} = 25^\circ\text{C}$ ,  $t_a = 1 \mu\text{s}$ .  
a – äußerster Verlauf/limiting characteristic  
b – typischer Verlauf/typical characteristic



Bild/Fig. 17  
Nachlaufladung  $Q_S$  in Abhängigkeit von der abkommunizierenden Stromsteilheit  
 $-di/dt$  bei  $t_{ij} = 125^\circ\text{C}$ .  
Der angegebene Verlauf wird von 90% aller Thyristoren nicht überschritten.  
Lag charge  $Q_S$  versus the rate of decay of forward on-state current  
 $-di/dt$  at  $t_{ij} = 125^\circ\text{C}$ . – These curves are valid for 90% of all thyristors.



Bild/Fig. 18  
Ausschnitt aus Bild 17/Detail of fig. 17.